

1、图示为一个均匀带电的球层，其电荷体密度为 $\rho$ ，球层内表面半径为 $R_1$ ，外表面半径为 $R_2$ 。设无穷远处为电势零点，求空腔内任一点的电势。

解：由高斯定理可知空腔内 $E=0$ ，故带电球层的空腔是等势区，各点电势均为 $U$ 。

在球层内取半径为 $r \rightarrow r + dr$ 的薄球层。其电荷为

$$dq = \rho 4\pi r^2 dr$$

该薄层电荷在球心处产生的电势为

$$dU = dq / (4\pi\epsilon_0 r) = \rho r dr / \epsilon_0$$

整个带电球层在球心处产生的电势为

$$U_0 = \int dU_0 = \frac{\rho}{2\epsilon_0} \int_{R_1}^{R_2} r dr = \frac{\rho}{2\epsilon_0} (R_2^2 - R_1^2)$$

因为空腔内为等势区所以空腔内任一点的电势 $U$ 为

$$U = U_0 = \frac{\rho}{2\epsilon_0} (R_2^2 - R_1^2)$$

若根据电势定义 $U = \int \vec{E} \cdot d\vec{l}$ 计算同样给分。

2、一半径为 $R$ 的带电球体，其电荷体密度分布为

$$\rho = Ar \quad (r \leq R), \quad \rho = 0 \quad (r > R)$$

$A$ 为一常量。试求球体内外的场强分布。

解：在球内取半径为 $r$ 、厚为 $dr$ 的薄球壳，该壳内所包含的电荷为

$$dq = \rho dV = Ar \cdot 4\pi r^2 dr$$

在半径为 $r$ 的球面内包含的总电荷为

$$q = \int_V \rho dV = \int_0^r 4\pi Ar^3 dr = \pi Ar^4 \quad (r \leq R)$$

以该球面为高斯面，按高斯定理有  $E_1 \cdot 4\pi r^2 = \pi Ar^4 / \epsilon_0$

$$\text{得到 } E_1 = Ar^2 / (4\epsilon_0), \quad (r \leq R)$$

方向沿径向， $A > 0$ 时向外， $A < 0$ 时向里。

在球体外作一半径为 $r$ 的同心高斯球面，按高斯定理有

$$E_2 \cdot 4\pi r^2 = \pi AR^4 / \epsilon_0$$

$$\text{得到 } E_2 = AR^4 / (4\epsilon_0 r^2), \quad (r > R)$$

方向沿径向， $A > 0$ 时向外， $A < 0$ 时向里。

3 在半径为  $R_1$  和  $R_2$  的两个同心球面上分别均匀带电  $q_1$  和  $q_2$ , 求在  $0 < r < R_1$ ,  $R_1 < r < R_2$ ,  $r > R_2$  三个区域内的电势分布。

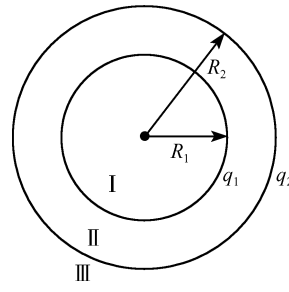
分析：由于场为球对称的，作同心球面，利用高斯定理求出场强。再利用电势与场强的积分关系  $U = \int_r^{+\infty} \vec{E} \cdot d\vec{r}$  求电势。注意：积分路径上的场强是分段函数。

解：利用高斯定理求出空间的电场强度：

$$E_I = 0 \quad r < R_1$$

$$\vec{E}_{II} = \frac{q_1}{4\pi\epsilon_0 r^2} \vec{r}_0 \quad R_1 < r < R_2$$

$$\vec{E}_{III} = \frac{q_1 + q_2}{4\pi\epsilon_0 r^2} \vec{r}_0 \quad r > R_2$$



解图 9-21

则空间电势的分布：

$$r \leq R_1$$

$$U_I = \int_r^{R_1} \vec{E}_I \cdot d\vec{r} + \int_{R_1}^{R_2} \vec{E}_{II} \cdot d\vec{r} + \int_{R_2}^{+\infty} \vec{E}_{III} \cdot d\vec{r} = \frac{1}{4\pi\epsilon_0} \left( \frac{q_2}{R_2} + \frac{q_1}{R_1} \right)$$

$$R_2 \leq r \leq R_1$$

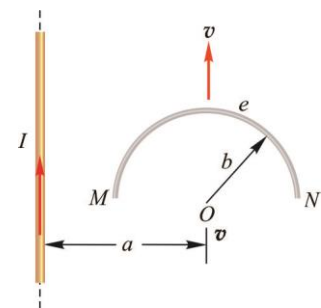
$$U_{II} = \int_r^{R_2} \vec{E}_{II} \cdot d\vec{r} + \int_{R_2}^{+\infty} \vec{E}_{III} \cdot d\vec{r} = \int_r^{R_2} \frac{q_1}{4\pi\epsilon_0 r^2} dr + \frac{q_1 + q_2}{4\pi\epsilon_0 R_2} = \frac{1}{4\pi\epsilon_0} \left( \frac{q_2}{R_2} + \frac{q_1}{r} \right)$$

$$r \geq R_2$$

$$U_{III} = \int_r^{+\infty} \vec{E}_{III} \cdot d\vec{r} = \int_r^{+\infty} \frac{q_1 + q_2}{4\pi\epsilon_0 r^2} dr = \frac{q_1 + q_2}{4\pi\epsilon_0 r}$$

4 如题图 13-7 所示 载有电流  $I$  的长直导线附近，放一半圆环  $MeN$  的导线与长直导线共面，其端点  $MN$  的连线与长直导线垂直。半圆环的半径为  $b$ , 环心  $O$  与导线相距  $a$ . 设半圆环以速度  $\vec{v}$  平行导线平移，求半圆环内感应电动势的大小和方向以及  $MN$  两端的电势差  $U_{MN}$

分析：此题直接利用  $\epsilon_{MeN} = \int_{MN} (\vec{v} \times \vec{B}) \cdot d\vec{l}$  计算半圆环的两端



题图 13-7

电势差难于实现，为便于计算，可引入一条辅助线  $MN$ ，构成闭合回路  $MeNM$ ，穿过闭合回路的磁通量不变，故总电动势为零，即  $\mathcal{E}_{\text{总}} = \mathcal{E}_{MeN} + \mathcal{E}_{NM} = 0$ ，而直导线  $MN$  的两端电势差可由  $\mathcal{E}_{MN} = \int_{MN} (\vec{v} \times \vec{B}) \cdot d\vec{l}$  求得，从而可以得到半圆环的两端电势差。

解：动生电动势

$$\mathcal{E}_{MN} = \int_{MN} (\vec{v} \times \vec{B}) \cdot d\vec{l}$$

闭合回路总电动势

$$\mathcal{E}_{\text{总}} = \mathcal{E}_{MeN} + \mathcal{E}_{NM} = 0$$

$$\mathcal{E}_{MeN} = -\mathcal{E}_{NM} = \mathcal{E}_{MN}$$

$$\mathcal{E}_{MN} = \int_{MN} (\vec{v} \times \vec{B}) \cdot d\vec{l} = \int_{a-b}^{a+b} -v \frac{\mu_0 I}{2\pi x} dx = -\frac{\mu_0 I v}{2\pi} \ln \frac{a+b}{a-b}$$

负号表示  $\mathcal{E}_{MN}$  的方向与  $x$  轴相反。

$$\mathcal{E}_{MeN} = -\frac{\mu_0 I v}{2\pi} \ln \frac{a+b}{a-b}$$

方向  $N \rightarrow M$ ，半圆环的两端电势差为

$$U_M - U_N = -\mathcal{E}_{MN} = \frac{\mu_0 I v}{2\pi} \ln \frac{a+b}{a-b}$$

5 如题图 13-8 所示，无限长直导线，通以电流  $I$ 。有一与之共面的直角三角形线圈  $ABC$ 。已知  $AC$  边长为  $b$ ，且与长直导线平行， $BC$  边长为  $a$ 。若线圈以垂直于导线方向的速度  $v$  向右平移，当  $B$  点与长直导线的距离为  $d$  时，求此时线圈  $ABC$  内的感应电动势的大小和感应电动势的方向。

分析：直角三角形内各个位置的磁场是不同的，但是平行于  $AC$  边的各个位置的磁场一致，则将此三角形拆分成都平行于  $AC$  边的窄条，得到穿过窄条的磁通量，再利用积分得到穿过此三角形的总磁通量，再由法拉第电磁感应定律求得线圈  $ABC$  内的感应电动势的大小。

解：建立坐标系，长直导线为  $y$  轴， $BC$  边为  $x$  轴，原点在长直导线上，则斜边的方程为

$$y = (bx/a) - br/a$$

式中  $r$  是  $t$  时刻  $B$  点与长直导线的距离。三角形中磁通量为

$$\Phi_m = \frac{\mu_0 I}{2\pi} \int_r^{a+r} \frac{y}{x} dx = \frac{\mu_0 I}{2\pi} \int_r^{a+r} \left( \frac{b}{a} - \frac{br}{ax} \right) dx = \frac{\mu_0 I}{2\pi} \left( b - \frac{br}{a} \ln \frac{a+r}{r} \right)$$

感应电动势为

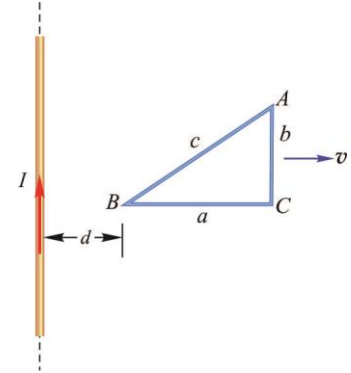
$$\mathcal{E} = -\frac{d\Phi_m}{dt} = \frac{\mu_0 Ib}{2\pi a} \left( \ln \frac{a+r}{r} - \frac{a}{a+r} \right) \frac{dr}{dt}$$

当  $r=d$  时，感应电动势为

$$\mathcal{E} = \frac{\mu_0 Ib}{2\pi a} \left( \ln \frac{a+d}{d} - \frac{a}{a+d} \right) v$$

方向： $ACBA$ (即顺时针)

6、如图所示，一长直导线中通有电流  $I$ ，有一垂直于导线、长度为  $l$  的金属棒  $AB$  在包含导线的平面内，以恒定的速度  $v$  沿与棒成  $\theta$  角的方向移动。开始时，棒的  $A$  端到导线的距离为



题图 13-8

$a$ , 求任意时刻金属棒中的动生电动势, 并指出棒哪端的电势高.

解:  $v_{\perp} = v \sin \theta$      $v_{\parallel} = v \cos \theta$

$$\varepsilon = \int d\varepsilon_i = - \int_{x_1}^{x_2} \frac{\mu_0 I}{2\pi x} v \sin \theta dx \quad (\varepsilon_i \text{ 指向以 } A \text{ 到 } B \text{ 为正})$$

式中:  $x_2 = a + l + vt \cos \theta$      $x_1 = a + vt \cos \theta$

$$\varepsilon_i = - \frac{\mu_0 I}{2\pi} v \sin \theta \ln \frac{a + l + vt \cos \theta}{a + vt \cos \theta}$$

$A$  端的电势高.

7、波长 $\lambda=600\text{nm}$ ( $1\text{nm}=10^{-9}\text{m}$ )的单色光垂直入射到一光栅上, 测得第二级主极大的衍射角为 $30^\circ$ , 且第三级是缺级.

(1) 光栅常数 $(a+b)$ 等于多少?

(2) 透光缝可能的最小宽度 $a$ 等于多少?

(3) 在选定了上述 $(a+b)$ 和 $a$ 之后, 求在衍射角 $-\frac{1}{2}\pi < \varphi < \frac{1}{2}\pi$  范围内可能观察到的全部主极大的级次.

解: (1) 由光栅衍射主极大公式得

$$a + b = \frac{k\lambda}{\sin \varphi} = 2.4 \times 10^{-4} \text{ cm}$$

(2) 若第三级不缺级, 则由光栅公式得

$$(a + b) \sin \varphi' = 3\lambda$$

由于第三级缺级, 则对应于最小可能的 $a$ ,  $\varphi'$ 方向应是单缝衍射第一级暗纹: 两式比较, 得

$$a \sin \varphi' = \lambda$$

$$a = (a + b)/3 = 0.8 \times 10^{-4} \text{ cm}$$

$$(3) \quad (a + b) \sin \varphi = k\lambda, \quad (\text{主极大})$$

$$a \sin \varphi = k'\lambda, \quad (\text{单缝衍射极小}) \quad (k' = 1, 2, 3, \dots)$$

因此  $k=3, 6, 9, \dots$  缺级.

又因为  $k_{\max} = (a+b)/\lambda = 4$ , 所以实际呈现  $k=0, \pm 1, \pm 2$  级明纹. ( $k=\pm 4$  在 $\pi/2$  处看不到.)

8、(1) 在单缝夫琅禾费衍射实验中, 垂直入射的光有两种波长,  $\lambda_1=400 \text{ nm}$ ,  $\lambda_2=760 \text{ nm}$  ( $1 \text{ nm}=10^{-9} \text{ m}$ ). 已知单缝宽度  $a=1.0 \times 10^{-2} \text{ cm}$ , 透镜焦距  $f=50 \text{ cm}$ . 求两种光第一级衍射明纹中心之间的距离.

(2) 若用光栅常数  $d=1.0 \times 10^{-3} \text{ cm}$  的光栅替换单缝, 其他条件和上一问相同, 求两种光第一级主极大之间的距离.

解: (1) 由单缝衍射明纹公式可知

$$a \sin \varphi_1 = \frac{1}{2}(2k+1)\lambda_1 = \frac{3}{2}\lambda_1 \quad (\text{取 } k=1)$$

$$a \sin \varphi_2 = \frac{1}{2}(2k+1)\lambda_2 = \frac{3}{2}\lambda_2$$

$$\tan \varphi_1 = x_1 / f, \tan \varphi_2 = x_2 / f$$

由于

$$\sin \varphi_1 \approx \tan \varphi_1, \sin \varphi_2 \approx \tan \varphi_2$$

所以

$$x_1 = \frac{3}{2}f\lambda_1 / a$$

$$x_2 = \frac{3}{2}f\lambda_2 / a$$

则两个第一级明纹之间距为

$$\Delta x = x_2 - x_1 = \frac{3}{2}f\Delta\lambda / a = 0.27 \text{ cm}$$

(2) 由光栅衍射主极大的公式

$$d \sin \varphi_1 = k\lambda_1 = 1\lambda_1$$

$$d \sin \varphi_2 = k\lambda_2 = 1\lambda_2$$

且有

$$\sin \varphi \approx \tan \varphi = x / f$$

所以

$$\Delta x = x_2 - x_1 = f\Delta\lambda / d = 1.8 \text{ cm}$$

9. 波长  $600\text{nm}$  的单色光垂直入射在一光栅上, 第 2 级主极大在  $\sin \varphi = 0.20$  处, 第 4 级缺级, 试问:

(1) 光栅上相邻两缝的间距  $a+b$  有多大?

(2) 光栅上狭缝可能的最小宽度  $a$  有多大?

(3) 按上述选定的  $a$ 、 $b$  值, 试问在光屏上可能观察到的全部级数是多少?

分析: (1) 将已知条件代入光栅方程  $(a+b)\sin \varphi = k\lambda$ , 可求出光栅常数即光栅上相

邻两缝的间距; (2) 用缺级公式  $\frac{a+b}{a} = \frac{k}{k'}$ ,  $k'=1$ , 可求出光栅上狭缝可能的最小宽度  $a$ ;

(3) 以  $90^\circ$  为限先确定干涉条纹的级数, 等于  $90^\circ$  时对应的级次看不见, 最后算出条纹数。

$$\text{解: (1) 由光栅方程 } (a+b)\sin\varphi = k\lambda \quad (k=2)$$

得光栅上相邻两缝的间距

$$(a+b) = \frac{k\lambda}{\sin\varphi} = 6 \times 10^{-4} \text{ cm}$$

(2) 根据缺级条件, 有

$$\frac{a+b}{a} = \frac{k}{k'}$$

取  $k'=1$ , 得狭缝的最小宽度

$$a = \frac{a+b}{4} = 1.5 \times 10^{-4} \text{ cm}$$

(3) 由光栅方程

$$(a+b)\sin\varphi = k\lambda, \quad k = 0, \pm 1, \pm 2, \dots$$

令  $\sin\varphi = 1$ , 解得:

$$k = \frac{a+b}{\lambda} = 10$$

即  $k = 0, \pm 1, \pm 2, \pm 3, \pm 5, \pm 6, \pm 7, \pm 9$  时出现主极大,  $\pm 4, \pm 8$  缺级,  $\pm 10$  级主极大在  $\varphi = 90^\circ$  处, 实际不可见, 光屏上可观察到的全部主极大谱线数有 15 条.

10 波长为 200nm 的紫外光照射到铝表面, 铝的逸出功为 4.2eV。试求:

(1) 出射的最快光电子的能量;

(2) 截止电压;

(3) 铝的截止波长;

(4) 如果入射光强度为  $2.0 \text{ W} \cdot \text{m}^{-2}$ , 单位时间内打到单位面积上的平均光子数。

分析 本题考察的是爱因斯坦光电效应方程。

解: (1) 入射光子的能量为:

$$E = h\nu = h\frac{c}{\lambda} = \frac{6.63 \times 10^{-34} \times 3 \times 10^8}{200 \times 10^{-9}} = 9.93 \times 10^{-19} (\text{J}) = 6.20 (\text{eV})$$

由光电效应方程可得出射的最快光电子的能量为:

$$\frac{1}{2}mv_{max}^2 = \frac{hc}{\lambda} - A = 6.20 - 4.20 = 2.00 (\text{eV})$$

(2) 截止电压为:

$$U_0 = \frac{\frac{1}{2}mv_{max}^2}{e} = \frac{2.00 (\text{eV})}{e} = 2.00 (\text{V})$$

(3) 铝的截止波长可由下式求得:

$$\lambda_0 = \frac{c}{v_0} = \frac{hc}{A} = \frac{h\nu}{A} \lambda = \frac{6.20}{4.20} \times 200 = 295.2 (\text{nm})$$

(4) 光强  $I$  与光子流平均密度  $N$  的关系为  $I=Nhv$ , 所以有:

$$N = \frac{I}{hv} = \frac{2.0}{9.93 \times 10^{-19}} = 2.02 \times 10^{18} (\text{m}^{-2} \cdot \text{s}^{-1})$$

11、波长为  $\lambda$  的单色光照射某金属  $M$  表面发生光电效应, 发射的光电子(电荷绝对值为  $e$ , 质量为  $m$ )经狭缝  $S$  后垂直进入磁感应强度为  $\vec{B}$  的均匀磁场(如图示), 今已测出电子在该磁场中作圆运动的最大半径为  $R$ . 求

- (1) 金属材料的逸出功  $A$ ;
- (2) 遏止电势差  $U_a$ .

解: (1) 由  $eBv = mv^2/R$  得  $v = (ReB)/m$ ,

代入  $h\nu = \frac{1}{2}mv^2 + A$

可得  $A = \frac{hc}{\lambda} - \frac{1}{2} \cdot \frac{mR^2e^2B^2}{m^2} = \frac{hc}{\lambda} - \frac{R^2e^2B^2}{2m}$

$$(2) e|U_a| = \frac{1}{2}mv^2$$

$$|U_a| = \frac{mv^2}{2e} = \frac{R^2eB^2}{2m}$$

12、光电管的阴极用逸出功为  $A = 2.2 \text{ eV}$  的金属制成, 今用一单色光照射此光电管, 阴极发射出光电子, 测得遏止电势差为  $|U_a| = 5.0 \text{ V}$ , 试求:

- (1) 光电管阴极金属的光电效应红限波长;
  - (2) 入射光波长.
- (普朗克常量  $h = 6.63 \times 10^{-34} \text{ J} \cdot \text{s}$ , 基本电荷  $e = 1.6 \times 10^{-19} \text{ C}$ )

解: (1) 由  $A = h\nu_0 = hc/\lambda_0$

得

$$\lambda_0 = \frac{hc}{A} = 5.65 \times 10^{-7} \text{ m} = 565 \text{ nm}$$

(2) 由  $\frac{1}{2}mv^2 = e|U_a| , h\nu = \frac{hc}{\lambda} = e|U_a| + A$

得

$$\lambda = \frac{hc}{e|U_a| + A} = 1.73 \times 10^{-7} \text{ m} = 173 \text{ nm}$$

13 如题图 11-19 所示的空心柱形导体，柱的内外半径分别为  $a$  和  $b$ ，导体内载有电流  $I$ ，设电流  $I$  均匀分布在导体的横截面上。求证导体内部各点 ( $a < r < b$ ) 的磁感应强度  $B$  由下式给出： $B = \frac{\mu_0 I}{2\pi(b^2 - a^2)} \frac{r^2 - a^2}{r}$ 。

分析：应用安培环路定理求解。注意环路中电流的计算，应该是先求出载流导体内电流密度，再求出穿过环路的电流。

证明：载流导体内电流密度为

$$\delta = \frac{I}{\pi(b^2 - a^2)}$$

由对称性可知，取以轴为圆心， $r$  为半径的圆周为积分回路  $L$ ，则由安培环路定理

$$\oint_L \vec{B} \cdot d\vec{l} = \mu_0 \sum_i I_i$$

得

$$B 2\pi r = \mu_0 \delta \pi (r^2 - a^2) = \mu_0 I \frac{r^2 - a^2}{b^2 - a^2}$$

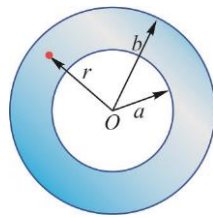
从而有

$$B = \frac{\mu_0 I}{2\pi(b^2 - a^2)} \frac{r^2 - a^2}{r}$$

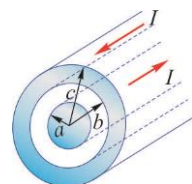
14 有一根很长的同轴电缆，由两个同轴圆筒状导体组成，这两个圆筒状导体的尺寸如题图 11-19 所示。在这两导体中，有大小相等而方向相反的电流  $I$  流过。求：

- (1) 内圆筒导体内各点 ( $r < a$ ) 的磁感应强度  $B$ ；
- (2) 两导体之间 ( $a < r < b$ ) 的  $B$ ；
- (3) 外圆筒导体内 ( $b < r < c$ ) 的  $B$ ；
- (4) 电缆外 ( $r > c$ ) 各点的  $B$ 。

分析：应用安培环路定理求解。求外圆筒导体内 ( $b < r < c$ ) 的  $B$  时，注意环路中电流的



题图 13



题图 14

计算，应该是先求出外圆导体内电流密度，再结合内圆筒的电流，求出穿过环路的电流。

解：在电缆的横截面，以截面的轴为圆心，将不同的半径  $r$  作圆弧并取其为安培积分回路  $L$ ，然后，应用安培环路定理求解，可得离轴不同距离处的磁场分布。

(1) 当  $r < a$  时， $\oint_l \vec{B} \cdot d\vec{l} = \mu_0 \sum_i I_i = 0$ ， $B \cdot 2\pi r = 0$ ，得

$$B=0$$

(2) 当  $a < r < b$  时，同理可得

$$B = \frac{\mu_0 I}{2\pi r}$$

(3) 当  $b < r < c$  时，有

$$B 2\pi r = \mu_0 \left[ I - \frac{I\pi(r^2 - b^2)}{\pi(c^2 - b^2)} \right]$$

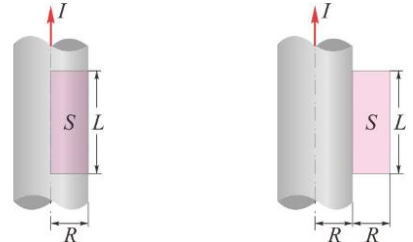
得

$$B = \frac{\mu_0 I}{2\pi r} \left( 1 - \frac{r^2 - b^2}{c^2 - b^2} \right)$$

(4) 当  $r > c$  时， $B=0$

15 一根很长的圆柱形实心铜导线半径为  $R$ ，均匀载流为  $I$ 。试计算：

- (1) 如题图 11-18 (a) 所示，导线内部通过单位长度导线剖面的磁通量；
- (2) 如题图 11-18 (a) 所示，导线外部通过单位长度导线剖面的磁通量。



题图 15

分析 解此题需分以下两步走：先由安培环路定理求得导线内、

外的磁感应强度分布情况；再根据磁通量的定义式  $\Phi = \int \vec{B} \cdot d\vec{S}$  来求解。

解 由磁场的安培环路定理可求得磁感应强度分布情况为

$$\begin{cases} B_{\text{内}} = \frac{\mu_0 I r}{2\pi R^2} & (r < R) \\ B_{\text{外}} = \frac{\mu_0 I}{2\pi r} & (r \geq R) \end{cases}$$

然后求磁通量。沿轴线方向在剖面取面元  $dS = l dr$ ，考虑到面元上各点  $B$  相同，故穿过面元的磁通量  $d\Phi = B dS$ ，通过积分，可得单位长度导线内的磁通量。

(1) 导线内部通过单位长度导线剖面的磁通量

$$\Phi_{\text{内}} = \int_0^R B_{\text{内}} dr = \int_0^R \frac{\mu_0 I r}{2\pi R^2} dr = \frac{\mu_0 I}{4\pi}$$

(2) 导线外部通过单位长度导线剖面的磁通量。

$$\varPhi_{\!\shortparallel}=\int_R^{2R}B_{\!\shortparallel}\mathrm{d} r=\frac{\mu_0 I}{2\pi}\ln 2$$